

بررسی فارماکولوژیک نقش کانالهای کلسیمی در اثرات مهاری تیموکینون بر پاسخهای انقباضی و ازدفران جدا شده موش صحرایی

سیاوش پرورده^{۱*}، محمد فاتحی^{۲**}

چکیده

هدف: اخیراً نشان داده شده است که تیموکینون، ماده مؤثره دانه‌های گیاه سیاهدانه^۱، دارای اثر شل‌کنندگی بر تراشه و ایلئوم بوده و این اثر را احتمالاً با مهار غیر اختصاصی گیرنده‌های هیستامینرژیک و سروتونرژیک اعمال می‌کند. در مطالعه حاضر، به منظور ارزیابی بیشتر مکانیسم عملکرد تیموکینون بر فعالیت انقباضی عضلات صاف، اثرات فارماکولوژیک آن بر پاسخهای انقباضی و ازدفران موش صحرایی بررسی شد.

روش بررسی: موشهای صحرایی نر (شش گروه چهارتایی)، با زدن ضربه‌ای به سر بیهوش شده و هر دو ازدفران آنها خارج گردید و در محلول کربس قرار داده شد. پس از وصل کردن و ازدفران به ترانس‌دیوسر، کشش اولیه به میزان ۰/۵ گرم به بافت اعمال شد. یک ساعت پس از قرارگیری بافت در حمام بافتی، کار ثبت انقباضات و ازدفران در پاسخ به نوراپی نفرین ($10 \mu\text{M}$)، دوپامین ($10 \mu\text{M}$)، پتاسیم کلراید (80 mM) و تحریک الکتریکی (فرکانس 20 Hz ، مدت زمان $0/1 \text{ ms}$)، شدت (130 V)، آغاز گردید. پس از ثبت پاسخهای انقباضی، ارتفاع پاسخها قبل و بعد از افزودن تیموکینون با یکدیگر مقایسه شد. همچنین، به منظور ارزیابی نقش کانالهای کلسیمی در اثرات مهاری تیموکینون، ارتفاع پاسخهای انقباضی ناشی از تحریک الکتریکی، قبل و بعد از افزودن تیموکینون، ابتدا در محیط عاری از کلسیم و سپس در حضور غلظت‌های تجمعی کلسیم کلراید، ثبت و بررسی گردید.

یافته‌ها: نتایج بدست آمده از تجزیه و تحلیل آماری نشان داد که تیموکینون با حداقل غلظت $20 \mu\text{M}$ ، ارتفاع انقباضات و ازدفران را در پاسخ به پتاسیم کلراید و تحریک الکتریکی ($p < 0/001$)، و با حداقل غلظت $40 \mu\text{M}$ ، ارتفاع انقباضات و ازدفران را در پاسخ به نوراپی نفرین و دوپامین ($p < 0/01$) کاهش داده است. بیشترین اثر مهاری تیموکینون با غلظت $100 \mu\text{M}$ مشاهده شد. علاوه بر این، آزمایشات انجام شده در محیط عاری از کلسیم نشان داد که تیموکینون ($80 \mu\text{M}$)، مانع از افزایش ارتفاع پاسخهای انقباضی و ازدفران در پاسخ به غلظت‌های تجمعی کلسیم کلراید گردیده است ($p < 0/001$).

نتیجه‌گیری: نتایج بدست آمده از این مطالعه، علاوه بر تأیید اثرات مهاری تیموکینون بر فعالیت انقباضی عضلات صاف، برای نخستین بار نشان می‌دهد یکی از مکانیسمهای شل‌کنندگی در وازدفران جدا شده موش صحرایی، از طریق مهار کانالهای کلسیمی صورت می‌پذیرد.

کلید واژگان: تیموکینون، وازدفران، کانالهای کلسیمی، موش صحرایی

مقدمه

سیاهدانه گیاهی است از خانواده آلاله^۲ که اثرات درمانی متعددی برای آن شناخته شده است (۱). به عنوان مثال در برخی مطالعات نشان داده شده است که عصاره و اسانس

دانه‌های سیاهدانه دارای اثرات شل‌کنندگی بر روی عضلات صاف از جمله عروق خونی (۲، ۳، ۴ و ۵)، روده کوچک (۶ و ۷)، تراشه (۷، ۸، ۹، ۱۰ و ۱۱) و رحم (۱۲ و ۱۳)

*استادیار، گروه فارماکولوژی دانشکده پزشکی، دانشگاه علوم پزشکی جندی شاپور اهواز

**دانشیار، گروه فارماکولوژی دانشکده پزشکی، دانشگاه علوم پزشکی مشهد

۱- نویسنده مسئول: سیاوش پرورده

دریافت مقاله: ۱۳۸۴/۸/۲۲ دریافت مقاله اصلاح شده: ۱۳۸۵/۱۲/۲ اعلام قبولی: ۱۳۸۵/۱۲/۲۱

- 1- Nigella sativa
2- Ranunculaceae

Archive of SID

پاسخهای انقباضی عضلات صاف صورت نگرفته است، در این تحقیق به مطالعه این موضوع پرداخته شد. همانگونه که اشاره شد، اثرات شل کنندگی اسانس دانه‌های گیاه سیاهدانه بر عضلات صاف در مطالعات مختلف گزارش شده (۲، ۳، ۴، ۵، ۶، ۷، ۸، ۹، ۱۰، ۱۱ و ۱۲) و فعالیت مهاری آن بر کانالهای کلسیمی به عنوان یکی از مکانیسمهای اثر، عنوان شده است (۲، ۶، ۷ و ۸). از آنجا که تیموکینون مهمترین و فراوانترین ماده مؤثره موجود در دانه‌های سیاهدانه می‌باشد، این احتمال مطرح می‌شود که اثرات مهاری سیاهدانه بر عضلات صاف (با مکانیسم احتمالی مهار کانالهای کلسیمی) به واسطه عملکرد تیموکینون موجود در اسانس دانه‌ها باشد. لذا در این تحقیق به ارزیابی اثرات تیموکینون بر فعالیت انقباضی عضلات صاف وازدفران موش صحرائی پرداخته و علاوه بر مطالعه اثرات تیموکینون بر انواع پاسخهای انقباضی ایجاد شده در وازدفران، نقش کانالهای کلسیمی به عنوان مهمترین اجزای شرکت کننده در روند انقباضی عضلات صاف، مورد بررسی قرار گرفت.

روش بررسی

آماده سازی بافت: موشهای صحرائی نر از نژاد-Sprague Dawley به وزن ۳۰۰-۲۰۰ گرم مورد استفاده قرار گرفتند. موشها در ۶ گروه ۴ تایی تقسیم شدند. پس از نخاعی کردن حیوان، بلافاصله قسمت تحتانی شکم باز شد و هر دو وازدفران حیوان خارج گردید و در محلول کریس گرم (۳۷ درجه سانتیگراد) و اکسیژنه (۹۵ درصد اکسیژن و ۵ درصد دی اکسید کربن) قرار گرفت. سپس عضله وازدفران از عروق خونی و بافتهای همبند اطراف پاک شد و قطعه‌ای به طول ۲ سانتیمتر از بخش اپیدیدیم^۳ آن جدا گردید. قطعات جدا شده (۸ نمونه در هر گروه) به مدت ۱ ساعت تحت کشش ۰/۵ گرم (۳۰ و ۳۱) در داخل حمام بافتی به حجم ۵۰ میلی لیتر حاوی محلول

می‌باشد. پیشنهاد شده است که احتمالاً بخشی از این اثرات از طریق مهار کانالهای کلسیمی اعمال می‌شوند (۲، ۶، ۷ و ۸). اما تاکنون مشخص نشده است که اثرات شل کنندگی سیاهدانه بر روی عضلات صاف، ناشی از فعالیت کدامیک از مواد مؤثره تشکیل دهنده آن می‌باشد. در این مطالعه، امکان وجود این اثرات در تیموکینون، به عنوان مهمترین و فراوانترین مواد مؤثره موجود در دانه‌های گیاه سیاهدانه (۱۳) ارزیابی شده است.

تیموکینون^۱، مهمترین ماده مؤثره موجود در دانه‌های گیاه سیاهدانه بوده و دارای اثرات فارماکولوژیکی متعددی می‌باشد که از آن جمله می‌توان به اثرات آرامبخشی (۱۴)، ضد ایسکمی (۱۵)، ضد تشنجی (۱۶، ۱۷ و ۱۸)، ضد دردی (۱۹)، ضد التهابی (۲۰)، ضد سرطانی (۲۱، ۲۲، ۲۳ و ۲۴) محافظت کبدی (۲۵، ۲۶ و ۲۷)، محافظت کلیوی (۲۸) و شلی عضلات صاف (۲۹)، اشاره کرد.

در مطالعه‌ای که توسط Al-Majed و همکاران صورت گرفت، مشخص شد که تیموکینون قادر است انقباض ایجاد شده توسط کارباکول^۲ را در عضله صاف تراشه خوکچه هندی مهار نماید. همچنین تیموکینون توانست انقباضات ایجاد شده توسط هیستامین و سروتونین را در تراشه و ایلئوم جدا شده خوکچه هندی مهار کند. بررسی‌های انجام شده توسط این محققین نشان داد که اثرات مهاری تیموکینون بر انقباضات تراشه و ایلئوم جدا شده، حداقل بخشی از طریق مهار تولید محصولات ناشی از متابولیسم آراشیدونیک اسید در مسیر لیپوآکسیژناز و نیز مهار غیراختصاصی گیرنده‌های هیستامینرژیک و سروتونرژیک صورت می‌گیرد (۲۹). از آنجا که کلسیم و جریانهای ورودی آن به درون سلول از طریق کانالهای کلسیمی، نقش اساسی در روند انقباضی عضلات صاف دارند، و چون تاکنون مطالعه‌ای به منظور بررسی نقش کانالهای کلسیمی در ارتباط با اثرات مهاری تیموکینون بر

1-Thymoquinone (TQ)
2-Carbachol

3-Epididymis

NE و DA هر یک به غلظت ۱۰ میکرومولار (μM) و KCl (80 mM)، قبل و بعد از افزودن تیموکینون ثبت گردید. غلظتهای مختلف تیموکینون ($100 \mu\text{M}$ ، 80 ، 40 ، 20) نیم ساعت قبل از NE، DA و KCl به محفظه بافتی اضافه شد.

پاسخ انقباضی وازدفران به تحریک الکتریکی

گروه چهارم حیوانات برای ثبت پاسخهای انقباضی وازدفران به تحریک الکتریکی آماده شدند. پس از آماده سازی بافت، تحریک الکتریکی توسط یک الکتروود حلقوی و با استفاده از دستگاه تحریک کننده (Grass S88) بر روی وازدفران جدا شده اعمال شد. این تحریک به صورت تکرار شونده با فرکانس ۲۰ هرتز، مدت زمان ۰/۱ میلی ثانیه و شدت ۱۳۰ ولت اعمال شد (۳۲). هر تحریک الکتریکی باعث ایجاد یک انقباض تپیک و سریع در عضله وازدفران می شود که به صورت یک تکانه عضلانی در دستگاه فیزیوگراف ثبت می گردد. در این آزمایش، غلظتهای افزایشی تیموکینون ($100 \mu\text{M}$ ، 80 ، 40 ، 20) نیم ساعت قبل از تحریک الکتریکی، بر روی وازدفران جدا شده در حمام بافتی اضافه گردید.

پاسخ انقباضی وازدفران به تحریک الکتریکی در محیط

عاری از کلسیم

گروههای پنجم و ششم حیوانات، به ترتیب برای انجام آزمایشات تحریک الکتریکی در محیط عاری از کلسیم، یکبار در غیاب تیموکینون و سپس در حضور تیموکینون، استفاده شدند. در این آزمایشات، از محلول کربس عاری از کلسیم استفاده شد که در آن CaCl_2 از محلول کربس حذف شده بود. یک ساعت پس از قرار گرفتن عضله وازدفران در محلول کربس عاری از کلسیم، تحریک الکتریکی توسط یک الکتروود حلقوی و به صورت تکرار شونده بر روی عضله اعمال شد. در گروه پنجم، اثرات تقویتی غلظتهای تجمعی کلسیم کلراید (1 mM ، 2 ، 4 ، $0/4$ ، $0/2$ و $0/1$) بر روی پاسخهای انقباضی عضله صاف وازدفران در محیط عاری از کلسیم به عنوان کنترل ثبت

کربس اکسیژنه (۹۵ درصد اکسیژن و ۵ درصد دی اکسید کربن) و گرم (۳۷ درجه سانتیگراد) قرار گرفتند.

داروها و محلولها

نوراپینفرین^۱، دوپامین^۲ و تیموکینون از شرکت Sigma خریداری شدند. سایر مواد شیمیایی جهت تهیه محلول کربس از شرکت Merck تهیه گردیدند. کلیه داروها در داخل آب مقطر حل شدند. در مورد تیموکینون به منظور انحلال بهتر، از توئین ۸۰ به عنوان کمک حلال استفاده گردید (۸/۸ درصد حجمی / حجمی). لازم به ذکر است کلیه داروها و محلولها به صورت تازه تهیه گردیدند و حداکثر حجم مورد استفاده از داروها در محفظه بافتی، ۰/۵ میلی لیتر بود. ترکیب شیمیایی محلول کربس بر حسب میلی مولار (mM) عبارت بود از: NaCl ($118/4$)، KCl ($4/7$)، MgSO_4 ($1/4$)، KH_2PO_4 ($1/2$)، CaCl_2 ($2/5$)، NaHCO_3 (25) و Glucose ($11/1$). در برخی آزمایشات از محلول کربس عاری از کلسیم استفاده شد که در آن CaCl_2 از محلول کربس حذف گردید.

ثبت پاسخهای انقباضی وازدفران به NE، DA و

KCl

گروه اول تا سوم حیوانات، به ترتیب برای انجام آزمایشات مربوط به ثبت پاسخهای انقباضی وازدفران به NE، DA و KCl در نظر گرفته شدند. پس از آنکه عضله وازدفران به مدت ۱ ساعت تحت کشش ۰/۵ گرم در داخل محفظه بافتی حاوی محلول کربس گرم و اکسیژنه قرار گرفت، کار ثبت کششی^۳ با استفاده از یک ترانسدایوسر ایزومتریک (E. Zimmermann, (Eipzig, Berlin Oscillograph, 400 MD/2, George (Washington Ltd., England) متصل بود آغاز شد. به این ترتیب که شدت انقباضات وازدفران در پاسخ به

1-Norepinephrine (NE)

2-Dopamine (DA)

3-Tension Recording

$80 \mu\text{M}$ ، نیم ساعت قبل از افزودن غلظتهای تجمعی استفاده شد. نتایجی که دارای ارزش P کوچکتر از 0.05 بود، به عنوان نتایج معنی دار در نظر گرفته شد.

شد. در گروه ششم (گروه آزمایش)، تیموکینون با غلظت کلسیم کلراید به داخل حمام بافتی اضافه شد و سپس پاسخهای انقباضی عضله وازدفران به تحریک الکتریکی ثبت و با گروه کنترل مقایسه گردید.

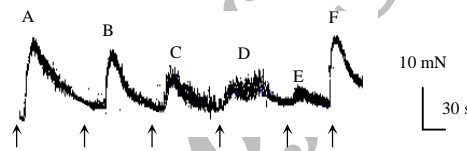
تجزیه و تحلیل آماری

تغییرات ارتفاع پاسخهای انقباضی که توسط فیزیوگراف بر حسب گرم کشش بافت ثبت شده بود، پس از تبدیل به واحد نیرو (نیوتن)، به صورت میانگین \pm انحراف معیار از میانگین (SEM)^۱ برای چهار حیوان (۸ نمونه) در هر گروه آزمایش گزارش شد. سپس به منظور بررسی وجود اختلاف بین پاسخهای کنترل و هر یک از نمونه‌های مورد آزمایش در هر گروه، از آزمون Student's t-test

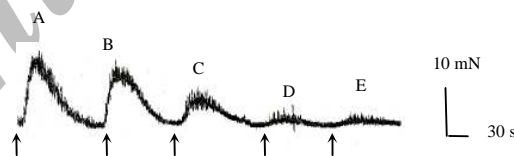
یافته ها

اثر تیموکینون بر پاسخ انقباضی وازدفران به DA، NE و KCl

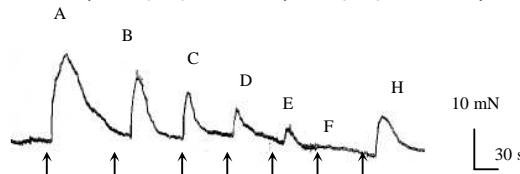
اثر غلظت‌های مختلف تیموکینون (80 ، 40 ، 20 ، $10 \mu\text{M}$) بر انقباضات ایجاد شده در وازدفران توسط NE ($10 \mu\text{M}$)، DA ($10 \mu\text{M}$) و KCl (80mM) به ترتیب در نمودارهای ۱، ۲ و ۳ نشان داده شده است.



نمودار ۱: اثر تیموکینون بر پاسخهای انقباضی ایجاد شده توسط NE ($10 \mu\text{M}$) در وازدفران موش صحرایی. تیموکینون توانست به صورت وابسته به غلظت (20 ، 40 ، 80 ، $100 \mu\text{M}$) ارتفاع پاسخهای انقباضی را کاهش دهد. فلشها نشان دهنده تزریق NE به درون محفظه بافتی می‌باشد. A: کنترل (NE)، B: تیموکینون $20 \mu\text{M}$ ، C: تیموکینون $40 \mu\text{M}$ ، D: تیموکینون $80 \mu\text{M}$ ، E: تیموکینون $100 \mu\text{M}$ ، دو ساعت پس از شست و شو.



نمودار ۲: اثر تیموکینون بر پاسخهای انقباضی ایجاد شده توسط DA ($10 \mu\text{M}$) در وازدفران موش صحرایی. تیموکینون توانست به صورت وابسته به غلظت (20 ، 40 ، 80 ، $100 \mu\text{M}$) ارتفاع پاسخهای انقباضی را کاهش دهد. فلشها نشان دهنده تزریق DA به درون محفظه بافتی می‌باشد. A: کنترل (DA)، B: تیموکینون $20 \mu\text{M}$ ، C: تیموکینون $40 \mu\text{M}$ ، D: تیموکینون $80 \mu\text{M}$ ، E: تیموکینون $100 \mu\text{M}$.



نمودار ۳: اثر تیموکینون بر پاسخهای انقباضی ایجاد شده توسط KCl (80mM) در وازدفران موش صحرایی. تیموکینون توانست به صورت وابسته به غلظت (20 ، 40 ، 80 ، 100 ، 200 ، 400 ، $800 \mu\text{M}$) ارتفاع پاسخهای انقباضی را کاهش دهد. فلشها نشان دهنده تزریق KCl به درون محفظه بافتی

می‌باشد. A: کنترل (KCl)، B: تیموکینون $10 \mu\text{M}$ ، C: تیموکینون $20 \mu\text{M}$ ، D: تیموکینون $40 \mu\text{M}$ ، E: تیموکینون $80 \mu\text{M}$ ، F: تیموکینون $100 \mu\text{M}$ ، دو ساعت پس از شست و شو.

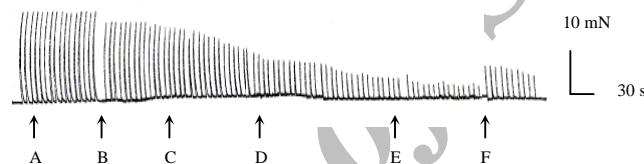
1- Standard Error of Mean

پاسخهای انقباضی ایجاد شده توسط NE، DA و KCl به ترتیب به میزان ۸۱، ۷۸ و ۴۰ درصد برگشت پیدا کرد (جدول ۱).

اثر تیموکینون بر پاسخ انقباضی وازدفران به تحریک الکتریکی

اثر غلظتهای مختلف تیموکینون (20 ، 40 ، 80 ، $100 \mu\text{M}$)، بر پاسخهای انقباضی وازدفران به تحریک الکتریکی در نمودار ۴ نشان داده شده است.

در این آزمایشات، تیموکینون با حداقل غلظت $40 \mu\text{M}$ توانست ارتفاع پاسخهای انقباضی ایجاد شده توسط NE و DA را در وازدفران جدا شده موش صحرائی کاهش دهد ($p < 0/01$). همچنین تیموکینون با حداقل غلظت $20 \mu\text{M}$ توانست ارتفاع پاسخهای انقباضی ایجاد شده توسط KCl را در وازدفران جدا شده موش صحرائی کاهش دهد ($p < 0/001$). بیشترین اثر مهاري تیموکینون در هر سه گروه، با غلظت $100 \mu\text{M}$ مشاهده شد ($p < 0/001$). این اثر تیموکینون برگشت پذیر بوده، به طوریکه پس از ۱۲۰ دقیقه شست و شو با محلول کریس،



نمودار ۴: اثر تیموکینون بر پاسخهای انقباضی وازدفران موش صحرائی به تحریک الکتریکی (فرکانس ۲۰ هرتز، مدت زمان ۰/۱ میلی ثانیه و شدت ۱۳۰ ولت). تیموکینون توانست به صورت وابسته به غلظت (20 ، 40 ، 80 ، $100 \mu\text{M}$) ارتفاع انقباضات وازدفران را در پاسخ به تحریک الکتریکی کاهش دهد. A: کنترل (محلول کریس نرمال)، B: تیموکینون $20 \mu\text{M}$ ، C: تیموکینون $40 \mu\text{M}$ ، D: تیموکینون $80 \mu\text{M}$ ، E: تیموکینون $100 \mu\text{M}$ ، دو ساعت پس از شست و شو.

اضافه کردن دارو و حداکثر پاسخ مهاري آن نیز پس از ۳۰ دقیقه ثبت شد. میزان برگشت پذیری اثر تیموکینون حداکثر ۴۰ درصد بوده و پس از ۱۲۰ دقیقه شست و شو با محلول کریس حاصل شد (جدول ۱).

تیموکینون با حداقل غلظت $20 \mu\text{M}$ توانست پاسخهای انقباضی وازدفران به تحریک الکتریکی را به طور معنی داری کاهش دهد ($p < 0/01$). در این آزمایش، بیشترین اثر مهاري تیموکینون با غلظت $100 \mu\text{M}$ مشاهده شد ($p < 0/001$). شروع اثر تیموکینون ۵ دقیقه پس از

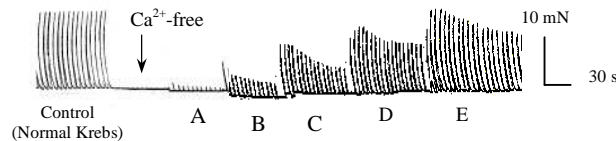
شدت انقباض عضله وازدفران در پاسخ به تحریک الکتریکی		شدت انقباض عضله وازدفران در پاسخ به KCl		شدت انقباض عضله وازدفران در پاسخ به DA		شدت انقباض عضله وازدفران در پاسخ به NE	
شدت انقباض (mN)	تحریک الکتریکی	شدت انقباض (mN)	دارو (غلظت mM)	شدت انقباض (mN)	دارو (غلظت μM)	شدت انقباض (mN)	دارو (غلظت μM)
20/5 ± 1/8	کنترل: محلول کربس	18/5 ± 1/1	کنترل: KCl (80)	14/2 ± 0/1	کنترل: DA (10)	17/5 ± 1/8	کنترل: NE (10)
17/8 ± 2/1	TQ (10)	12/8 ± 2/3	TQ (0/1) + KCl (80)	14/1 ± 0/5	TQ (10) + DA (10)	15/3 ± 1/6	TQ (10) + NE (10)
12/3 ± 1/2**	TQ (20)	10/1 ± 1/8***	TQ (0/2) + KCl (80)	13/5 ± 0/2	TQ (20) + DA (10)	12/7 ± 2/1	TQ (20) + NE (10)
7/5 ± 0/9***	TQ (40)	6/7 ± 0/7***	TQ (0/4) + KCl (80)	7/3 ± 0/1**	TQ (40) + DA (10)	8/1 ± 0/5**	TQ (40) + NE (10)
6/3 ± 0/8***	TQ (80)	4/2 ± 0/1***	TQ (0/8) + KCl (80)	4/1 ± 0/08***	TQ (80) + DA (10)	4/4 ± 0/1***	TQ (80) + NE (10)
5/1 ± 0/7***	TQ (100)	2/1 ± 0/09***	TQ (0/1) + KCl (80)	2/1 ± 0/07***	TQ (100) + DA (10)	2/6 ± 0/3***	TQ (100) + NE (10)
8/2 ± 0/5	شست و شو (2 ساعت)	7/2 ± 0/6	شست و شو (2 ساعت)	11/2 ± 1/2	شست و شو (2 ساعت)	14/2 ± 2/3	شست و شو (2 ساعت)

جدول ۱: اثر تیموکلینون بر پاسخهای انقباضی وازدفران موش صحرائی به NE، DA، KCl و تحریک الکتریکی.

جدول ۱: اثر تیموکلینون بر پاسخهای انقباضی وازدفران موش صحرائی به NE (10 μM)، DA (10 μM)، KCl (80 mM) و تحریک الکتریکی (20 Hz، 0/1 ms، 130 V). تیموکلینون نیم ساعت قبل از NE، DA، KCl و اعمال تحریک الکتریکی به محفظه بافتی اضافه شد. اعداد، بیانگر میانگین شدت انقباض بر حسب میلی نیوتن (SEM ± mN) برای ۸ بافت می باشند. *P < 0/01 و ***P < 0/001، آزمون t-student.

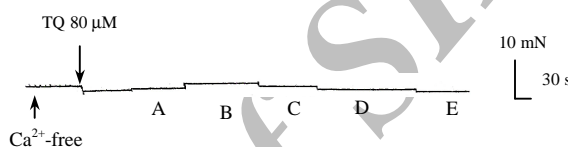
شرایط، افزودن غلظتهای مختلف کلسیم کلراید (2 mM)، 1، 0/4، 0/2، 0/1) به صورت تجمعی به داخل محفظه بافتی، پاسخهای انقباضی عضله وازدفران را به تحریک الکتریکی به طور کامل احیاء کرد. حداکثر پاسخ انقباضی در این آزمایش، با غلظت 2 mM کلسیم کلراید حاصل شد (p < 0/001) (نمودار ۵).

اثر غلظتهای تجمعی کلسیم کلراید بر پاسخهای انقباضی وازدفران به تحریک الکتریکی، قبل و بعد از افزودن تیموکلینون، در محیط عاری از کلسیم یک ساعت پس از قرار دادن بافت در محلول کربس عاری از کلسیم، میزان پاسخهای انقباضی عضله وازدفران به تحریک الکتریکی کاهش یافت و به صفر رسید. در این



نمودار ۵: اثر غلظت‌های تجمعی CaCl_2 بر پاسخهای انقباضی وازدفران موش صحرائی به تحریک الکتریکی (فرکانس ۲۰ هرتز، مدت زمان ۰/۱ میلی ثانیه و شدت ۱۳۰ ولت) در محیط عاری از کلسیم. A: کلسیم کلراید ۰/۱ mM، B: کلسیم کلراید ۰/۲ mM، C: کلسیم کلراید ۰/۴ mM، D: کلسیم کلراید ۱ mM، E: کلسیم کلراید ۲ mM.

اما در محیط عاری از کلسیم، افزودن غلظت‌های تجمعی کلسیم کلراید در حضور تیموکینون ($80 \mu\text{M}$)، نتوانست کند (نمودار ۶).



نمودار ۶: اثر غلظت‌های تجمعی CaCl_2 بر پاسخهای انقباضی وازدفران موش صحرائی به تحریک الکتریکی (فرکانس ۲۰ هرتز، مدت زمان ۰/۱ میلی ثانیه و شدت ۱۳۰ ولت) در محیط عاری از کلسیم، در حضور تیموکینون ($80 \mu\text{M}$). A: کلسیم کلراید ۰/۱ mM، B: کلسیم کلراید ۰/۲ mM، C: کلسیم کلراید ۰/۴ mM، D: کلسیم کلراید ۱ mM، E: کلسیم کلراید ۲ mM.

تغییرات ارتفاع پاسخهای انقباضی وازدفران موش صحرائی به تحریک الکتریکی در محیط عاری از کلسیم و اثر غلظت‌های تجمعی کلسیم کلراید در حضور یا عدم حضور تیموکینون در جدول ۲ نشان داده شده است.

جدول ۲: اثر غلظت‌های تجمعی کلسیم کلراید بر پاسخهای انقباضی وازدفران موش صحرائی به تحریک الکتریکی در محیط عاری از کلسیم، قبل و بعد از افزودن تیموکینون ($80 \mu\text{M}$).

شدت انقباض عضله وازدفران (mN)		دارو (غلظت mM)
کنترل (قبل از افزودن تیموکینون)	پس از افزودن تیموکینون ($80 \mu\text{M}$)	
•	•	کلسیم کلراید (۰)
$1/1 \pm 0/7$	•	کلسیم کلراید (۰/۱)
$1/5 \pm 0/9$	•	کلسیم کلراید (۰/۲)
$5/5 \pm 0/8^{***}$	•	کلسیم کلراید (۰/۴)
$13/1 \pm 1/1^{***}$	•	کلسیم کلراید (۱)
$15/8 \pm 1/5^{***}$	•	کلسیم کلراید (۲)

جدول ۲: اثر غلظتهای تجمعی کلسیم کلراید بر پاسخهای انقباضی وازدفران به تحریک الکتریکی (۲۰ Hz، ۰/۱ ms، ۱۳۰ V) در محلول کربس عاری از کلسیم، به تنهایی و در حضور تیموکینون $80 \mu\text{M}$ اعداد، بیانگر میانگین شدت انقباض بر حسب میلی نیوتن $\text{SEM} \pm (\text{mN})$ برای ۸ بافت می‌باشند. $P < 0/001$ ، ***، آزمون t-student.

بحث

به حمام بافتی و نزدیک شدن غلظت کلسیم به مقدار اصلی آن در محلول کربس، پاسخهای انقباضی وازدفران مجدداً احیا شدند (بخشهای A، B، C، D، E در شکل ۵). این آزمایش که در غیاب تیموکینون صورت گرفت، نقش کلسیم خارج سلولی را در انقباضات عضله صاف وازدفران به وضوح نشان می‌دهد. تکرار همین آزمایش در شکل ۶ مشاهده می‌شود، با این تفاوت که تیموکینون با غلظت $80 \mu\text{M}$ به محلول کربس اضافه شده است. همانطور که در شکل ۶ نمایان است، پس از حذف کلسیم از محیط، فعالیت انقباضی عضله وازدفران به صفر کاهش یافت. ولی اینبار، افزودن تدریجی کلسیم کلراید به محیط در حضور تیموکینون ($80 \mu\text{M}$)، دیگر نتوانست ارتفاع پاسخهای انقباضی وازدفران به تحریک الکتریکی را به حالت اولیه خود برگرداند. افزایش غلظت داخل سیتوپلاسمی کلسیم یکی از مهمترین شرایط مورد نیاز برای انقباض عضلات صاف می‌باشد. این افزایش کلسیم داخل سیتوپلاسمی، می‌تواند با افزایش عبور کلسیم به درون سلول از طریق کانالهای کلسیمی وابسته به ولتاژ از نوع L که در غشای پلاسمایی سلول عضله صاف قرار دارند صورت گیرد و یا توسط ذخایر محدود کلسیم داخل سلولی تامین شود. افزایش ورود کلسیم به داخل سلول عضله صاف وازدفران از طریق فعال شدن کانالهای کلسیمی وابسته به ولتاژ نوع L، بدنال دپلاریزه شدن غشای سلول عضله صاف و در نتیجه فعال شدن این کانالها رخ می‌دهد (۳۴ و ۳۵).

بر این اساس، احتمال اثر مهار تیموکینون بر جریانهای ورودی کلسیم از عرض غشای سلول عضله صاف وازدفران مطرح می‌شود. به منظور بررسی بیشتر این فرضیه، یک غلظت بالای KCl (80 mM) جهت

نتایج این مطالعه نشان داد که تیموکینون دارای فعالیت مهار بر انقباضات ایجاد شده در عضلات صاف وازدفران می‌باشد. ضمن اینکه آزمایشات تکمیلی به منظور ارزیابی مکانیسمهای احتمالی اثرات تیموکینون بر عضلات صاف وازدفران، منجر به کسب نتایجی دال بر اثرات مهار تیموکینون بر کانالهای کلسیمی گشت.

پاسخهای انقباضی وازدفران به تحریک الکتریکی، ناشی از آزاد شدن NE از انتهای نورونهای آدرنرژیک که به عضله صاف وازدفران عصبدهی می‌کنند، صورت می‌گیرد (۳۳ و ۳۴). همانطور که در بخش نتایج اشاره شد، پاسخهای انقباضی وازدفران به تحریک الکتریکی توسط تیموکینون به طور قوی مهار شد (جدول ۱). از آنجا که اثرات مهار تیموکینون بر پاسخهای انقباضی وازدفران به NE اگروژن در این آزمایشات به تأیید رسید، این احتمال مطرح می‌شود که تیموکینون گیرنده های آدرنرژیک موجود در عضله صاف وازدفران را مهار می‌کند.

تیموکینون اثرات مهار مشابهی بر روی پاسخهای انقباضی ایجاد شده توسط DA در وازدفران موش صحرائی از خود نشان داد. بر این اساس، احتمال اثرات مهار تیموکینون بر گیرنده‌های دوپامینرژیک موجود در وازدفران موش صحرائی نیز مطرح می‌شود. ولی نتایج بدست آمده از آزمایشات انجام شده در محیط عاری از کلسیم، این فرضیه را به طور قوی مطرح می‌سازد که تیموکینون بر جریانهای ورودی کلسیم مورد نیاز جهت انقباض عضله صاف وازدفران اثرات مهار اعمال می‌کند. همانطور که در شکل ۵ مشاهده شد، حذف کلسیم از محلول کربس موجب از بین رفتن کلیه فعالیت‌های انقباضی وازدفران در پاسخ به تحریک الکتریکی گردید (علامت فلش در شکل ۵). ولی با افزودن تدریجی کلسیم کلراید

در مطالعات انجام شده بر روی عضلات صاف شریان آئورت در خرگوش (۲) و عضلات صاف تراشه خوکچه هندی و خرگوش (۷ و ۸) گزارش شده است. بر اساس این نتایج پیشنهاد شده است که اثرات شل کنندگی اسانس سیاهدانه بر روی عضلات صاف، ناشی از فعالیت آنتاگونیستی آن بر روی کانالهای کلسیمی می‌باشد. بنابراین به نظر می‌رسد اثرات مهارى اسانس دانه‌های سیاهدانه بر روی کانالهای کلسیمی، ناشی از وجود تیموکینون در آن باشد. در مجموع نتایج بدست آمده از این آزمایشات نشان می‌دهد که تیموکینون قادر است فعالیت انقباضی وازدفران موش صحرائی را در پاسخ به NE، DA، KCl و تحریک الکتریکی کاهش دهد و این اثر را حداقل بخشی از طریق مهار کانالهای کلسیمی عضله صاف اعمال می‌کند. بر این اساس می‌توان تیموکینون را به عنوان یک ترکیب ضد اسپاسم با منشا گیاهی، به منظور برطرف نمودن انقباضات عضلات صاف مجاری ادراری در کارآزمایی‌های بالینی مطرح نمود.

دپلاریزه کردن بافت استفاده شد. نتایج نشان داد که تیموکینون توانسته است به صورت وابسته به غلظت موجب کاهش انقباض وازدفران در پاسخ به تحریک KCl گردد.

انقباض عضله وازدفران در پاسخ به KCl از طریق دپلاریزاسیون غشای سلولهای عضله صاف، باز شدن کانالهای کلسیمی وابسته به ولتاژ و ورود کلسیم به داخل سلول عضله صاف وازدفران صورت می‌گیرد (۳۴، ۳۶ و ۳۷). شواهدی در دست است که نشان می‌دهد ترکیباتی که قادر به مهار پاسخ انقباضی ناشی از KCl باشند، واجد اثرات مهارى بر کانالهای کلسیمی می‌باشند (۳۸). بر این اساس، مهار انقباضات عضله وازدفران در پاسخ به KCl که توسط تیموکینون صورت گرفت، فعالیت مهارى تیموکینون را بر کانالهای کلسیمی وابسته به ولتاژ مطرح می‌سازد. در نتیجه، مکانیسم اثرات مهارى تیموکینون بر پاسخهای انقباضی وازدفران جدا شده موش صحرائی، حداقل بخشی از طریق مهار کانالهای کلسیمی صورت می‌گیرد. نتایج مشابهی در مورد عصاره و اسانس سیاهدانه

منابع

- 1-Ali BH, Blunden G. Pharmacological and toxicological properties of *Nigella sativa*. *Phytother Res* 2003 17: 299-305.
- 2-Aqel-Mahmoud B. The relaxing effects of the volatile oil of *Nigella sativa* seeds on vascular smooth muscle. *Dirasat Series B Pure Appl Sci* 1993 19: 91-100.
- 3-El-Tahir KEH, Al-Tahir AY, Ageel AM. Pharmacological studies on sesame and *Nigella sativa* fixed oil: Effects on the sensitivities of the adrenoceptors, baroreceptors, platelets and the uterus of the rat. *Saudi Pharmac J* 1997 7: 205-15.
- 4-El-Tahir KBH, Ashour MMS, Al-Harbi MM. The cardiovascular actions of the volatile oil of the black seed (*Nigella sativa*) in rats: Elucidation of the mechanism of action. *Gen Pharmacol* 1993 24: 1123-31.
- 5-Zaoui A, Cherrah Y, Lacaille-Dubois MA, Settaf A, Amarouch H, Hassar M. Diuretic and hypotensive effects of *Nigella sativa* on the spontaneously hypertensive rat. *Therapie* 2000 55: 379-82.
- 6-Aqel-Mahmoud B. Effects of *Nigella sativa* seeds on intestinal smooth muscle. *Int J Pharmacol* 1993 31: 55-60.
- 7-Gilani AH, Aziz N, Khurram IM. Bronchodilator, Spasmolytic and calcium antagonist activities of *Nigella sativa* seeds (Kalonji): a traditional herbal product with multiple medicinal uses. *J Pak Med Assoc* 2001 51: 115-20.
- 8-Aqel-Mahmoud B. The calcium antagonistic effect of the volatile oil of *Nigella sativa* seeds. *Dirasat Series B Pure Appl Sci* 1993 19: 119-33.
- 9-Boskabady MH, Shahabi M. Bronchodilatory and anticholinergic effects of *Nigella sativa* on isolated guinea pig tracheal chains. *Ir J Med Sci* 1997 22: 127-33.

- 10-Boskabady MH, Sheiravi N. Inhibitory effects of *Nigella sativa* on histamine (H_1) receptors of isolated guinea pig tracheal chains. *Pharmac Biol* 2002 40:596-602.
- 11-Boskabady MH, Shirmohammadi B, Jandaghi P, Kiani S. Possible mechanism(s) for relaxant effects of aqueous and macerated extracts from *Nigella sativa* on tracheal chains of guinea pig. *BMC Pharmacol* 2004 4: 3.
- 12-Aqel M, Shaheen R. Effects of the volatile oil of *Nigella sativa* seeds on the uterine smooth muscle of rat and guinea pig. *J Ethnopharmacol* 1996 52: 23-6.
- 13-Filippo D'Antuono L, Moretti A, Lovato AFS. Seed yield, yield components, oil content and essential oil content and composition of *Nigella sativa* L. and *Nigella damascena* L. *Indust Crops Prod* 2002 15: 59-69.
- ۱۴- پرونده س، حسین زاده ح. بررسی اثرات خواب‌آوری و شلی عضلانی تیموکینون، ماده موثره سیاهدانه (*Nigella sativa*) و تاثیر آن بر فعالیت و هماهنگی سیستم حرکتی موش. فصلنامه گیاهان دارویی ۱۳۸۲، سال دوم، ص ۱۷-۲۵.
- ۱۵- پرونده س، نصیری اصل م، حسین زاده ح. اثرات محافظتی تیموکینون بر آسیب ناشی از ایسکمی و پرفیوژن مجدد مغزی در رت. مجله علوم پایه پزشکی ایران ۱۳۸۳، سال هفتم، ص ۶۵-۷۰.
- ۱۶- پرونده س، حسین زاده ح. نقش گیرنده‌های اویپوئیدی در اثر ضد تشنجی تیموکینون، ماده موثره سیاهدانه (*Nigella sativa*) در موش. مجله علوم پایه پزشکی ایران ۱۳۸۲، سال ششم، ص ۲۰۲-۲۰۶.
- 17-Hosseinzadeh H, Parvardeh S. Anticonvulsant effects of thymoquinone, the major constituent of *Nigella sativa* seeds, in mice. *Phytomedicine* 2004 11, 56-64.
- 18-Hosseinzadeh H, Parvardeh S, Nassiri-Asl M, Mansouri MT. Intra-cerebroventricular administration of thymoquinone, the major constituent of *Nigella sativa* seeds, suppresses epileptic seizures in rats. *Med Sci Monit* 2005 11, 106-10.
- 19-Abdel-Fattah AM, Matsumoto K, Watanabe H. Antinociceptive effects of *Nigella sativa* oil and its major component, thymoquinone, in mice. *Eur J Pharmacol* 2000 400: 89-97.
- 20-Houghton PI, Zarka R, Delas Heras B, Hoult RS. Fixed oil of *Nigella sativa* and derived thymoquinone inhibit eicosanoid generation in leukocytes and membrane lipid peroxidation. *Planta Med* 1995 61: 33-6.
- 21-Badary OA. Thymoquinone attenuates ifosfamide-induced Fanconi syndrome in rats and enhances its antitumor activity in mice. *J Ethnopharmacol* 1999 67: 135- 42.
- 22-Gali-Muhtasib HU, Abou Kheir WG, Kheir LA, Darwiche N, Crooks PA. Molecular pathway for thymoquinone-induced cell-cycle arrest and apoptosis in neoplastic keratinocytes. *Anticancer Drugs* 2004 15: 389-99.
- 23-Hassan M, El-Dakhkhny M. Effect of some *Nigella sativa* Constituents on chemical carcinogenesis in hamster cheek pouch. *J Egypt Soci Pharmacol Exp Ther* 1992 11: 675-7.
- 24-Worthen DR, Ghosheh OA, Crooks PA. The in vitro anti-tumor activity of some crude and purified components of black seed, *Nigella sativa* L. *Anticancer Res* 1998; 18(3 A): 1527-32.
- 25-Al-Gharably NM, Badary OA, Nagi MN, Al-Shabanah OA, Al-Sawaf HA, Al-Rikabi AC, et al. Protective effect of thymoquinone against carbon tetrachloride-induced hepatotoxicity in mice. *Res Commun Pharmacol Toxicol* 1997 2: 41-50.
- 26-Daba MH, Abdel-Rahman MS. Hepatoprotective activity of thymoquinone in isolated rat hepatocytes. *Toxicol Lett* 1998 95: 23-9.
- 27-Nagi MN, Alam K, Badary OA, al-Shabanah OA, al-Sawaf HA, al-Bekairi AM. Thymoquinone protects against carbon tetrachloride hepatotoxicity in mice via an antioxidant mechanism. *Biochem Mol Biol Int* 1999 47: 153-9.
- 28-Badary OA, Nagi MN, Al-Shabanah OA, Al-Sawaf HA, Al-Sohaibani MO, Al-Bekairi AM. Thymoquinone ameliorates the nephrotoxicity induced by cisplatin in rodents and potentiates its antitumor activity. *Can J Physiol Pharmacol* 1997 75: 1356-61.
- 29-Al-Majed AA, Daba MH, Asiri YA, Al-Shabanah OA, Mostafa AA, El-Kashef HA. Thymoquinone-induced relaxation of guinea-pig isolated trachea. *Res Commun Mol Pathol Pharmacol* 2001 110: 333-45.
- 30-Amobi NIB, Sugden D, Smith ICH. Pharmacomechanical coupling in rat vas deferens: Effects of agents that modulate intracellular release of calcium and protein kinase C activation. *Life Sci* 1999 65: 145-56.
- 31-Matsuki N, Higo K, Saito H, Nakazawa K. Regional differences in sympathetic neurotransmitter and Ca^{2+} channel-mediated responses in rat vas deferens. *Gen Pharmacol* 1996 27: 689-93.

- 32-Nagao T, Fujita A, Takeuchi T, Hata F. Change in neuronal contribution to contractility responses of vas deferens of young and adult guinea pigs. *J Auton Nerv Sys* 1994 50: 87-92.
- 33-Sneddon P, Machaly M. Regional variation in purinergic and adrenergic responses in isolated vas deferens of rat, rabbit and guinea-pig. *J Aut Pharmacol* 1992 12: 421-8.
- 34-Bolton TB. Mechanism of action of transmitters and other substances on smooth muscle. *Physiol Rev* 1979 59: 606-718.
- 35-Spedding M, Paoletti R. Classification of calcium channels and the sites of action of drugs modifying channel function. *Pharmacol Rev* 1992 44: 363-76.
- 36-Hay DW, Wadsworth RM. Effects of some organic calcium antagonists and other procedures affecting the Ca^{2+} translocation on KCl-induced contractions in the rat vas deferens. *Br J Pharmacol* 1982 76: 103-13.
- 37-Khoyi MA, Westfall DP, Buxton ILO, Akhtar-Kahavari F, Rezaei E, Salaices M, et al. Norepinephrine and potassium induced calcium translocation in rat vas deferens. *J Pharmacol Exp Ther* 1988 246: 917-23.
- 38-Godfraind T, Miller R, Wibo M. Calcium antagonism and calcium entry blockade. *Pharmacol Rev* 1986 38: 321-416.

Archive of SID